

P19-2007-192

В. Н. Чausов, А. В. Борейко, Е. А. Красавин, А. В. Можаева,
И. И. Равначка, С. И. Тиунчик, В. А. Тронов

ЗАКОНОМЕРНОСТИ ИНДУКЦИИ И РЕПАРАЦИИ
ДВУНИТЕВЫХ РАЗРЫВОВ ДНК В ЛИМФОЦИТАХ
ЧЕЛОВЕКА ПРИ ДЕЙСТВИИ УСКОРЕННЫХ ТЯЖЕЛЫХ
ИОНОВ РАЗЛИЧНЫХ ЭНЕРГИЙ

Направлено в журнал «Радиационная биология. Радиоэкология»

Чausов В. Н. и др. Закономерности индукции и репарации двунитевых разрывов ДНК в лимфоцитах человека при действии ускоренных тяжелых ионов различных энергий	Р19-2007-192
<p>С использованием метода ДНК-комет исследованы закономерности индукции двунитевых разрывов (ДР) ДНК в клетках лимфоцитов человека при облучении различными дозами ускоренных ионов лития и углерода с энергией 33 и 480 МэВ/нуклон и линейной передачей энергии (ЛПЭ), равной 20 и 10,2 кэВ/мкм соответственно, и γ-квантов ^{60}Co. Установлено, что зависимость выхода ДР при действии как γ-квантов, так и высокоэнергетических ионов лития и углерода линейно возрастает с дозой облучения. Биологическая эффективность ионов углерода по данному критерию облучения сравнима с действием γ-квантов, а частицы лития обладают большей биологической эффективностью по сравнению с γ-облучением, и величина относительной биологической эффективности (ОБЭ) ионов лития составляет $1,6 \pm 0,1$. Исследована кинетика репарации ДР ДНК в лимфоцитах человека при действии указанных видов излучений. Выявлено, что репарация эффективно протекает в клетках, облученных как γ-квантами, так и высокоэнергетическими ионами лития и углерода по экспоненциальной кинетике.</p> <p>Работа выполнена в Лаборатории радиационной биологии ОИЯИ.</p> <p>Препринт Объединенного института ядерных исследований. Дубна, 2007</p>	

Chausov V. N. et al. The Regularities of the Induction and Reparation of DNA Double Strand Breaks in Human Lymphocytes after Irradiation with Accelerated Heavy Ions of Different Energy	Р19-2007-192
<p>The regularities of the induction of DNA double strand breaks (DSB) in human lymphocytes after irradiation with different doses of accelerated lithium and carbon ions (33 and 480 MeV/nucleon, LET = 20 and 10.2 keV/μm, respectively) and γ-rays ^{60}Co by using of comet assay were investigated. It was shown that dependence of DSB formation increases linearly with growing of the dose of lithium and carbon ions and γ-rays. The biological effectiveness of carbon ions with high energy was similar to γ-rays, lithium ions possess greater biological effectiveness in comparison with γ-rays and value of RBE of lithium ions amount to 1.6 ± 0.1. The kinetics of DSB reparation in human lymphocytes after irradiation with lithium and carbon ions and γ-rays was studied. It is revealed that the reparation proceeds effectively with heavy-ion and γ-ray irradiation by exponential kinetics.</p> <p>The investigation has been performed at the Laboratory of Radiation Biology, JINR.</p> <p>Preprint of the Joint Institute for Nuclear Research. Dubna, 2007</p>	

Изучение закономерностей и механизмов образования двунитевых разрывов (ДР) ДНК в клетках человека при действии тяжелых заряженных частиц с разными физическими характеристиками является весьма важной задачей при решении проблем радиационной генетики, космической радиобиологии, радиационной медицины. ДР, как известно, относятся к наиболее тяжелым повреждениям генома и являются молекулярным субстратом формирования различного вида структурных мутаций генов, aberrаций хромосом, участвуют в инициации клеточной трансформации. Данные о закономерностях образования ДР ДНК в клетках человека при облучении тяжелыми ионами ограничены и в наибольшей степени касаются действия тяжелых заряженных частиц с высокими величинами линейной передачи энергии (ЛПЭ). Вместе с тем представляются важными исследования закономерностей формирования ДР ДНК при действии тяжелых заряженных частиц со сравнительно низкими значениями ЛПЭ в диапазоне 10–20 кэВ/мкм. Особый интерес вызывает изучение закономерностей индукции ДР, когда указанные величины ЛПЭ реализуются частицами, обладающими разной массой и энергией. С учетом этого в задачу настоящего исследования входило изучение закономерностей индукции ДР ДНК в лимфоцитах периферической крови человека при действии ускоренных ионов лития и углерода, различающихся по величине энергии более чем на порядок, но не имеющих столь больших различий в величине ЛПЭ. В наших экспериментах использовали ускоренные ионы лития и углерода с энергией 33 и 480 МэВ/нуклон и ЛПЭ, равной 20 и 10,2 кэВ/мкм соответственно.

МАТЕРИАЛЫ И МЕТОДЫ

Лимфоциты выделяли из свежей цельной гепаринизированной (15 ед./мл) донорской крови. Кровь смешивали с равным объемом питательной среды RPMI 1640 или фосфатного буфера (PBS) и наносили смесь на поверхность изотонического раствора фиколла (фиколл + вирографин, $\rho = 1,077$ г/мл). После центрифугирования при 800 g в течение 20 мин отбирали интерфазу, содержащую лимфоциты. Клетки дважды отмывали в PBS, центрификуя 5 мин при 400 g . Супернатант сливал и полученный осадок разводили необходимым объемом среды или PBS, доводя концентрацию до $2 \cdot 10^6$ кл./мл.

Облучение γ -квантами проводили на установке «Рокус» (мощность дозы 0,3 Гр/с). Эксперименты с высокоэнергетичными ионами углерода (480 МэВ/нуклон, ЛПЭ = 10,2 кэВ/мкм) выполняли на ускорителе нуклotron Лаборатории высоких энергий им. В. И. Векслера и А. М. Балдина. Дозиметрию осуществляли, используя специально созданную установку с комплексом электронно-физической аппаратуры [1]. Клетки облучали в пластиковых пробирках объемом 1,5 мл.

Облучение ионами лития проводили на ускорителе тяжелых ионов У-400М Лаборатории ядерных реакций им. Г. Н. Флерова ОИЯИ на установке «Геном» для облучения биологических объектов [2]. Облучаемые клетки находились в специально сконструированных чашках глубиной 4 мм и внутренним диаметром 12 мм, выполненных из органического стекла. Чашки закрывали поликарбонатной пленкой толщиной 8 мкм. Размеры чашек определялись диаметром генерируемого ускорителем пучка ионов, равного 15 мм, и пробегом частиц в облучаемой среде. Для устранения влияния краевых эффектов чашки имели меньший диаметр, чем размер пучка ионов. Чашки с пробами лимфоцитов закреплялись в диске-контейнере, с помощью которого по заданной программе пробы вводились в зону облучения. Мощность дозы облучения составляла 1,5 Гр/мин.

При облучении γ -квантами пробирки помещали в ледянную баню (0 °С) для ингибирования процессов репарации. Объем облучаемой суспензии на каждую дозу составлял 200 мкл. При облучении на нуклotronе объем облучаемой суспензии составлял от 200 до 800 мкл в зависимости от дозы облучения.

Из облученной и контрольной клеточной суспензии отбирали необходимые объемы для приготовления слайдов, а оставшуюся суспензию помещали в СО₂-термостат на 37 °С, предварительно добавив в RPMI 1640 эмбриональную телячью сыворотку (10%). Если облучение проводили в PBS, то его также заменяли на смесь RPMI 1640 с эмбриональной телячьей сывороткой, дважды отмыв клетки центрифугированием. Для изучения кинетики репарации из пробирок, выдерживаемых в термостате через определенные промежутки времени в течение 6 ч, периодически отбирали пробы для приготовления слайдов.

Для получения тонких гель-слайдов использовали предметные стекла, на поверхность которых была нанесена «подложка» (200 мкл нормальной 1 %-й агарозы в H₂O), способствующая прилипанию слайда к стеклу [3]. На подложке готовили «подушку». Для этого на предметное стекло наносили 150 мкл нормальной 1 %-й агарозы в PBS и накрывали покровным стеклом, которое удаляли через 1–2 мин и слайд убирали в холодильник до момента использования. Суспензию клеток смешивали при 37 °С с 1 %-м раствором агарозы в PBS, имеющей низкую температуру затвердевания (low melting temperature agarose), в соотношении 1:2. Наносили на «подушку» 50 мкл при-

готовленной смеси и, накрыв покровным стеклом, помещали слайд на лед. Через 2–5 мин покровное стекло осторожно удаляли. Полученные слайды опускали в емкость с лизирующим раствором (2,5 моль NaCl; 0,1 моль EDTA Na₂ — pH 10; 0,02 моль Tris — pH 10; 1 % X-100, 10 % DMSO), установленную в холодильник. Лизис проводили в темноте.

Электрофорез нейтрально лизированных клеток проводили в низкосолевом ТАЕ-буфере (pH 8,3): 10 ммоль Трис-HCl, 25 ммоль ЕДТА Na₂. Для выравнивания солевой среды в геле слайд 2–3 раза ополаскивали в H₂O и помещали в камеру для электрофореза, заполненную ТАЕ-буфером и установленную в холодильнике. В таких условиях слайды выдерживали 40 мин для денатурации ДНК. Важно отметить, что воспроизводимость результатов в большой мере зависела от однородности электрического поля и качества электрофоретического буфера. Поэтому стекла со слайдами устанавливали плотно друг к другу, полностью заполняя электрофоретическую ванну в перечнике, и каждый раз готовили свежий буфер. Электрофорез в нейтральных условиях проводили при напряжении 15 В в течение 40 мин. После электрофореза осторожно вынимали слайды из ТАЕ-буфера, укладывали их горизонтально, раскалывали на них щелочь по 400 мкл (0,3 моль NaOH, 10 ммоль ЭДТА Na₂) и выдерживали 15 мин в холодильнике (в темноте). Эта процедура необходима для осуществления деградации РНК, сильно затрудняющей детекцию комет. Нейтрализацию проводили 0,4 моль раствором Tris — HCl (pH 7,4), раскалывая его по 0,45–1,0 мл на каждый слайд. Данную процедуру повторяли трижды. Просушенные на воздухе слайды обрабатывали метанолом (15 мин) для окончательной дегидратации и фиксации ДНК.

Полученные слайды прокрашивали иодистым пропидием (PI). Для регистрации изображений комет использовали флуоресцентный микроскоп «AxioLab» фирмы Carl Zeiss с цифровой Color chilled CCD камерой фирмы Hamamatsu. С каждого слайда регистрировали 100–200 комет.

Сканирование каждой кометы давало профиль интенсивности ее флюoresценции, на котором легко идентифицируются голова и хвост кометы. Обработку изображения кометы проводили с помощью программы CASP [4]. Каждую комету характеризовали общепринятым параметром — моментом хвоста кометы mt , являющимся произведением доли ДНК в хвосте (Ft) и его медианы (Xm) [3]. Параметры вычисляли по формулам

$$\begin{aligned} mt &= Xm \cdot Ft, \\ Xm &= \left[\sum_t (Ii \cdot Xi) \right] / \sum_t Ii, \\ Ft &= \left(\sum_t Ii \right) / \left(\sum_c Ii \right). \end{aligned} \quad (1)$$

Здесь Ii — интенсивность флюoresценции в точке i ; Xi — расстояние от медианы головы кометы до точки i . Индексы под знаком суммы обозначают

область суммирования: t — суммирование проводится только в пределах хвоста кометы, c — суммирование в пределах всей кометы.

Результаты измерений переводили в Excell-таблицу, на основании которой рассчитывали среднее значение (\bar{x}) и стандартное отклонение (STDEV).

$$\text{STDEV} = \sqrt{\frac{(\bar{x} - x_i)^2}{n - 1}}, \quad (2)$$

где n — число измерений.

Графики и гистограммы строили с помощью программы OriginPro.

РЕЗУЛЬТАТЫ И ОБСУЖДЕНИЕ

На рис. 1 приведены дозовые зависимости частоты образования двунитевых разрывов ДНК после облучения γ -квантами и высокозенергетическими ионами углерода. Видно, что для обоих видов излучений с увеличением дозы выход ДР ДНК линейно возрастает. В ранее выполненных разными авторами исследованиях установлено, что у клеток млекопитающих, также как и у про-кариот, облученных сверхлетальными и летальными дозами ионизирующих излучений с разными физическими характеристиками, наблюдается линейная дозовая зависимость выхода ДР. Такой тип зависимости выявляется при использовании различных методов определения ДР ДНК [5–7]. Выход ДР ДНК у клеток млекопитающих примерно в 25 раз меньший, чем однонитевых разрывов (ОР). Если облучение дозой 1 Гр в геноме клеток млекопитающих вызывает образование $\sim 10^3$ ОР [8], то выход ДР ДНК составляет $\sim 40 – 50$ разрывов/Гр/геном [5]. Как можно видеть из представленных данных, выход ДР

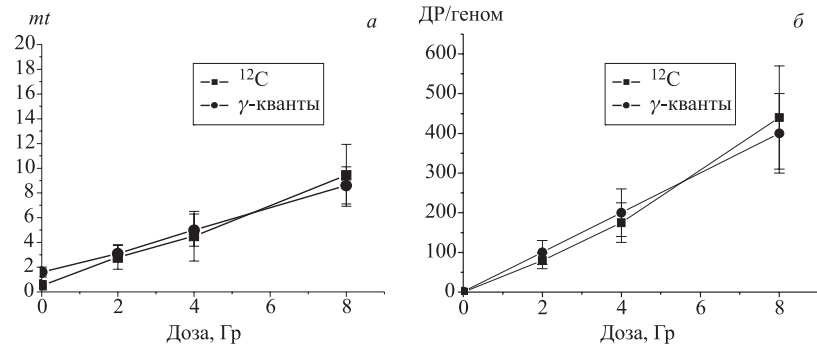


Рис. 1. Индукция двунитевых разрывов ДНК в клетках лимфоцитов крови человека при облучении γ -квантами ^{60}Co и ускоренными ионами углерода с энергией 480 МэВ/нуклон. *а* — зависимость параметра mt от дозы облучения; *б* — зависимость количества ДР ДНК на геном от дозы облучения

ДНК, определяемый с помощью использованного нами метода ДНК-комет, соответствует полученным ранее другими авторами результатам выхода ДР ДНК, использовавшими другие методы определения двунитевых разрывов.

Биологическая эффективность ионов углерода, как это следует из данных на рис. 1, близка к наблюдаемой при γ -облучении. В работах [9–12] показано, что с увеличением ЛПЭ излучений частота образования ДР у клеток различного происхождения возрастает до максимальных значений при ЛПЭ ≈ 200 кэВ/мкм. Зависимость выхода ДР ДНК от ЛПЭ частиц в области ЛПЭ излучений, реализуемых легкими заряженными частицами с низкой энергией, характеризуется коэффициентами относительной биологической эффективности (ОБЭ) частиц, близких к единице. В наших экспериментах использовались ускоренные ионы углерода высоких энергий с величиной ЛПЭ, равной 10,2 кэВ/мкм, и полученные данные также свидетельствуют о том, что ионы углерода индуцируют ДР ДНК с эффективностью, наблюдавшейся при γ -облучении клеток.

На рис. 2 приведены дозовые зависимости частоты образования двунитевых разрывов при облучении ускоренными ионами лития. Как можно видеть, тяжелые заряженные частицы обладают большей биологической эффективностью по сравнению с γ -облучением. Величина ОБЭ частиц, рассчитанная как $OBE = D_{\gamma'}/D_{Li}$, где $D_{\gamma'}/D_{Li}$ — отношение доз, индуцирующих равные эффекты при γ -облучении и облучении тяжелыми ионами, составляет $1,6 \pm 0,1$. Полученные данные свидетельствуют о том, что низкоэнергетичные ионы лития с ЛПЭ, равной 20 кэВ/мкм, обладают весьма высокой биологической эффективностью по сравнению с γ -квантами. Действительно, как это следует из данных, полученных в [11, 12], 15–30 кэВ/мкм является той областью значений ЛПЭ, при которых начинается заметное увеличение выхода двунитевых разрывов ДНК по сравнению с γ -квантами.

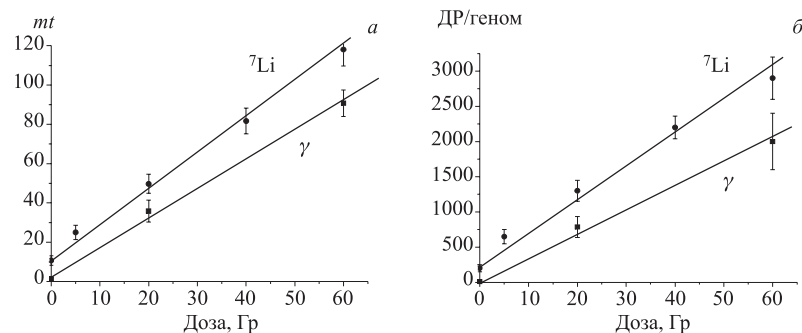


Рис. 2. Индукция двунитевых разрывов ДНК в клетках лимфоцитов крови человека при облучении γ -квантами ${}^{60}\text{Co}$ и ускоренными ионами лития с энергией 33 МэВ/нуклон. *a* — зависимость параметра *mt* от дозы облучения; *б* — зависимость количества ДР ДНК на геном от дозы облучения

На рис. 3 приведены данные о кинетике репарации ДР ДНК при действии различных доз γ -квантов, ионов лития и углерода. Видно, что кривые, описывающие кинетику репарации ДР ДНК при этих воздействиях, имеют экспоненциальный вид. Значительная часть всех индуцируемых повреждений восстанавливается клетками спустя 6 ч после облучения. Ранее было показано [13–16], что у различных типов клеток млекопитающих репарация ДР после лучевого воздействия проходит эффективно как в ростовых, так и в не ростовых условиях по монофазной или бифазной кинетике. Например, на клетках мышей и асцитной карциномы Эрлиха [17] в пострадиационный период выявлено, что репарация ДР происходит по экспоненциальному кинетике независимо от дозы облучения. В ряде работ была продемонстрирована независимость скорости репарации ДР от фазы клеточного цикла [15, 18]. Наряду с этим имеются свидетельства зависимости скорости и объема репарации ДР от клеточного цикла [13]. Авторы полагают, что реализуются два пути репарации ДР ДНК: один из них осуществляется главным образом в поздней S-фазе, другой — на протяжении всего клеточного цикла.

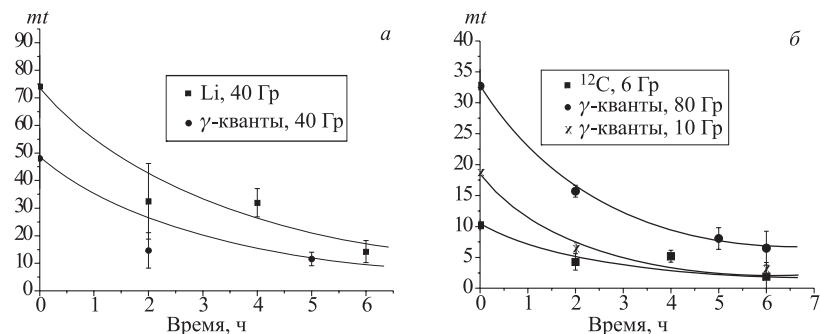


Рис. 3. Кинетика репарации ДР ДНК при γ -облучении и действии ускоренных ионов лития (а) и углерода (б)

При действии ионизирующих излучений с высокой ЛПЭ данные о скорости репарации ДР клетками эукариот противоречивы. Имеются сведения, что репарация протекает с одинаковой скоростью [19] или замедлена [16] по сравнению с воздействием редкоионизирующих излучений. Анализ полученных нами материалов свидетельствует о том, что репарация ДР ДНК протекает по экспоненциальной кинетике и значительная часть ДР после облучения клеток γ -квантами и ускоренными тяжелыми ионами различных энергий восстанавливается спустя 4–6 ч.

Таким образом, полученные нами данные свидетельствуют о том, что биологическая эффективность высокoenергетичных ионов углерода с низкими значениями ЛПЭ, выявленная по критерию индукции двунитевых разрывов ДНК, практически одинакова со «стандартным» видом ионизирующего из-

лучения — γ -квантами ^{60}Co . Низкоэнергетичные ионы лития с большими значениями ЛПЭ обладают более высокой биологической эффективностью по сравнению с γ -квантами. Двукратное возрастание величины ЛПЭ частиц в последнем случае сопровождается заметным увеличением выхода ДР ДНК в облученных клетках. Репарация ДР ДНК в лимфоцитах периферической крови человека эффективно осуществляется как при γ -облучении, так и при действии ускоренных тяжелых ионов с разными физическими характеристиками.

ЛИТЕРАТУРА

1. Тимошенко Г. Н. Радиометрия нуклонов в полях излучений, генерируемых ускорителями тяжелых заряженных частиц: Автореф. дис... докт. физ.-мат. наук. Дубна, 2005.
2. Череватенко А. П. Физико-дозиметрическая установка «Геном» для проведения радиобиологических экспериментов на пучках тяжелых ионов циклотрона У-200 ОИЯИ // Тр. рабочего совещ. по генетическому действию корпускулярных излучений. Дубна, 1989. С. 300–303.
3. Тронов В. А., Пелевина И. И. Метод ДНК-комет индивидуальных клеток. Принцип и применение метода // Цитология. 1996. Т. 38. С. 427–439.
4. Konca K. et al. A cross-platform public domain PC image-analysis program for the comet assay // Mutat. Res. 2003. V. 534. P. 15–20.
5. Blocher D. DNA double strand breaks in Ehrlich ascites tumour cells at low doses of X-rays. Determination of induced breaks by centrifugation at reduced speed // Int. J. Radiat. Biol. 1982. V. 42. P. 317–328.
6. Van der Schans G. P., Centen H. B. Progress in Mutation Research. V. 4. Amsterdam: Elsevier, 1982. P. 285–299.
7. McMillan T. J. et al. The relationship of DNA double-strand break induction to radiosensitivity in human tumour cell lines // Int. J. Radiat. Biol. 1990. V. 58. No. 3. P. 427–438.
8. Christensen R. C., Tobias C. A., Taylor W. D. Heavy-ion-induced single- and double-strand breaks in φ X-174 replicative form DNA // Int. J. Radiat. Biol. 1972. V. 22, No. 5. P. 457–477.
9. Frankenberg D. et al. Evidence for DNA double strand breaks as the critical lesions in yeast cells irradiated with sparsely and densely ionizing radiation under oxic or anoxic conditions // Radiat. Res. 1981. V. 88. P. 524–532 .

10. *Kampf G., Eichhorn K.* DNA strand breakage by different radiation qualities and relations to cell killing: Further results after the influence of α -particles and carbon ions // Stud. Biophys. 1983. V. 93. P. 17–26.
11. *Blocher D.* DNA double-strand break repair determines the RBE of α -particles // Int. J. Radiat. Biol. 1988. V. 54. P. 761–771.
12. *Radford I. R.* Effect of cell-cycle position and dose on the kinetics of DNA double-strand breakage repair in X-irradiated Chinese hamster cells // Int. J. Radiat. Biol. 1987. V. 52. P. 555–563.
13. *Van Ankeren S. C., Murray D., Meyn R. E.* Induction and rejoining of γ -ray induced DNA single and double-strand breaks in Chinese hamster AA8 cells and in two radiosensitive clones // Radiat. Res. 1988. V. 16. P. 1–525.
14. *Metzger L., Iliakis O.* Kinetics of DNA double-strand break repair throughout the cell cycle as assayed by pulsed field gel electrophoresis in CHO cells // Int. J. Radiat. Biol. 1991. V. 59. P. 1325–1341.
15. *Peak M. J. et al.* Comparison of repair of DNA double-strand breaks caused by neutron or gamma radiation in cultured human cells // Int. J. Radiat. Biol. 1991. V. 60. P. 891–898.
16. *Blocher D., Pohlit W.* DNA double-strand breaks in Ehrlich ascites tumour cells at low doses of X-rays. Can cell death be attributed to double-strand breaks? // Int. J. Radiat. Biol. 1982. V. 42. P. 329–338 .
17. *Blocher D., Niissem N., Bryant P. E.* Kinetics of double-strand break repair in the DNA of irradiated synchronized mammalian cells // Int. J. Radiat. Biol. 1983. V. 43. P. 579–584.
18. *Maki H. et al.* Cell inactivation and DNA single and double-strand breaks in cultured mammalian cells irradiated by a thermal neutron beam // Int. J. Radiat. Biol. 1986. V. 50. P. 795–810.

Получено 26 декабря 2007 г.

Редактор *E. B. Сабаева*

Подписано в печать 29.01.2008.

Формат 60 × 90/16. Бумага офсетная. Печать офсетная.
Усл. печ. л. 0,68. Уч.-изд. л. 0,81. Тираж 230 экз. Заказ № 56036.

Издательский отдел Объединенного института ядерных исследований
141980, г. Дубна, Московская обл., ул. Жолио-Кюри, 6.

E-mail: publish@jinr.ru
www.jinr.ru/publish/